

УДК 536.3+536.42

Численное исследование теплового состояния слоя анизотропно рассеивающего излучение льда*

Слепцов С.Д.¹, Саввинова Н.А.²

¹Институт теплофизики им. С.С. Кутателадзе СО РАН, Новосибирск

²Северо-восточный федеральный университет им. М.К. Аммосова, Якутск

E-mail: sleptsov@itp.nsc.ru

Методами математического моделирования в однофазной постановке задачи Стефана поставлена и решена задача таяния слоя рассеивающего излучение льда. Для решения радиационной части задачи использован модифицированный метод средних потоков. Учет анизотропного рассеяния осуществлен с помощью метода разложения индикатрисы рассеяния по полиномам Лежандра. Показано влияние направления рассеяния на скорость таяния слоя льда. Получено удовлетворительное согласование результатов расчетов с экспериментальными данными и с данными расчетов, проведенных транспортным методом.

Ключевые слова: лед, задача Стефана, анизотропное рассеяние, полином Лежандра.

Введение

Естественный лед представляет собой полупрозрачный светорассеивающий материал. Свет рассеивается пузырьками газов, трещинами, органическими и неорганическими частицами. При изучении теплового состояния слоя льда необходимо рассматривать как радиационный, так и кондуктивный теплообмен. Исследования по этой теме представлены в работах [1–4].

Математическое моделирование нагрева и последующего таяния сплошного слоя льда основано на задаче Стефана для полупрозрачных сред. В работах [5, 6] авторы показали применимость однофазного приближения задачи Стефана для расчета таяния чистого, нерассеивающего льда при его облучении внешним источником теплового излучения. В исследовании [7] авторы решили задачу для рассеивающего льда. Валидацию результатов они проводили по экспериментальным данным [8]. Для решения задач радиационно-кондуктивного теплообмена с учетом анизотропного рассеяния излучения можно использовать различные представления индикатрисы рассеяния, начиная от разложения индикатрисы в ряд по полиномам Лежандра [9, 10] до простейшего транспортного приближения [10, 11]. Целью настоящей работы является обобщение результатов [7] с использованием разложения индикатрисы в ряд по полиномам Лежандра для учета анизотропного рассеяния и сравнение расчетных данных с данными исследования [8].

* Исследования выполнены в рамках государственного задания ИТ СО РАН (121031800219-2)

Постановка задачи

Геометрическая схема задачи представляет собой слой рассеивающего излучение льда с начальной толщиной L_0 , расположенный на вертикальной непрозрачной подложке и находящийся в среде с постоянной температурой T_∞ . Аналогично работе [12] будем предполагать, что рассеяние излучения происходит на пузырьках воздуха. Правая поверхность слоя освещается лампой с температурой накаливания нити 3200 К с постоянным падающим потоком излучения $E_v^* = 4649 \text{ Вт/м}^2$. Спектральный состав источника излучения аналогичен спектральному составу, изученному в [7]. Авторы работ [3, 4, 8] отметили, что в диапазоне длин волн излучения от 0,3 до 1,2 мкм рассеяние излучения значительно превалирует над поглощением. В диапазоне длин волн от 1,2 мкм и выше, наоборот, поглощение излучения во льду значительно превышает рассеяние. В связи с этим для учета селективности рассматриваются два диапазона длин волн: от 0,3 до 1,2 мкм и от 1,2 до 3 мкм. Расчетные значения доли падающего излучения и коэффициента объемного поглощения льда представлены в таблице.

Предполагается, что граничные поверхности слоя льда диффузно поглощают, отражают и пропускают излучение таким образом, что $A_i + R_i + D_i = 1$, где A_i, R_i, D_i — поглощательная, отражательная и пропускательная полусферические способности поверхности льда соответственно. Также на поверхности выполняется условие $A_i = \varepsilon_i$, где ε_i — степень черноты, $i = 1, 2$. Согласно [8], левая поверхность подложки поддерживается при постоянной температуре T_{sub} , которая совпадает с начальной температурой плоского слоя льда $T(x, 0)$.

Решение задачи проводится в два этапа. На первом этапе рассматривается радиационно-кондуктивный теплообмен, при котором падающее излучение поглощается, рассеивается и нагревает слой льда до момента, когда температура правой поверхности достигнет температуры плавления T_f . Далее начинается второй этап, на котором температура правой границы фиксирована: $T(L(t), t) = T_f$. Таким образом, в этой точке выполняется условие Стефана. Предполагается, что образующаяся на поверхности пленки вода стекает под действием силы тяготения с температурой $T_{\text{пл}}$, которая выше температуры таяния льда. Толщина пленки пренебрежимо мала по сравнению с толщиной слоя льда, поэтому перепадом температуры в ней можно пренебречь, считая пленку изотермичной. Следовательно, наличие пленки воды может быть учтено с помощью условия на межфазной границе в рамках однофазной задачи Стефана.

Нестационарное уравнение энергии для плоского слоя льда с температурой $T(x, t)$ с учетом переноса энергии излучением записывается в виде

$$c\rho \frac{\partial T(x, t)}{\partial t} = \frac{\partial}{\partial x} \left(\lambda \frac{\partial T(x, t)}{\partial x} - E(x, t) \right), \quad 0 < x < L(t), \quad (1)$$

здесь c — теплоемкость, ρ — плотность, λ — коэффициент теплопроводности,

$$E(x, t) = E^+(x, t) - E^-(x, t) = 2\pi \int_0^1 \int_0^1 \left(I_v^+(x, \mu, t) - I_v^-(x, \mu, t) \right) \mu d\mu dv$$

— плотность потока результирующего излучения, I_v^\pm — спектральная интенсивность излучения, μ — косинус

Таблица
Спектральные характеристики льда и источника излучения

Номер спектральной полосы (j)	$\nu_j, 10^{14} \text{ Гц}$	$\lambda_j, \text{ мкм}$	$\alpha_j, \text{ м}^{-1}$	ω_j	$E_j^*, \text{ Вт/м}^2$
1	9,09–2,02	0,33–1,2	0,01	0,99	2073
2	2,02–1,18	1,2–3	1	0,8	1883

угла между направлением излучения и осью координат x , ν — частота излучения.

Граничные условия для уравнения (1) на первом этапе процесса записываются следующим образом:

$$\begin{aligned} -\lambda \frac{\partial T}{\partial x} &= A_1 E^-(x, t) - \varepsilon_1 \sigma_0 T^4, \quad x = 0, \\ \lambda \frac{\partial T}{\partial x} - h(T_\infty - T) - |E_{\text{res},2}| &= 0, \quad x = L_0, \end{aligned} \quad (2)$$

где $|E_{\text{res},2}| = A_2 (E^+(x, t) + E_\nu^*) - \varepsilon_2 \sigma_0 (T^4(x, t) - T_\infty^4)$. Уравнения (1) и (2) дополняются начальным условием $T(x, 0) = T_{\text{sub}}$.

На втором этапе процесса температура правой поверхности слоя льда $x = L(t)$ фиксирована: $T(x, t) = T_f$. Граничное условие (2) на левой поверхности остается прежним, тогда как на правой поверхности слоя льда имеет место условие Стефана, учитывающее пленку воды:

$$\lambda \frac{\partial T}{\partial x} - h(T_{\text{fil}} - T_\infty) - |E_{\text{res},\text{fil}}| = \rho \gamma \frac{\partial L}{\partial t}, \quad (3)$$

где

$$|E_{\text{res},\text{fil}}| = A_2 (E^+(x, t) + E_\nu^*) - \varepsilon_2 \sigma_0 (T^4(x, t) - T_{\text{fil}}^4 - T_\infty^4), \quad x = L(t), \quad (4)$$

здесь γ — скрытая теплота фазового перехода.

Расчет переноса излучения проводится с использованием достаточно точного и эффективного модифицированного метода средних потоков [2, 9]. Согласно этому подходу, интегро-дифференциальное уравнение переноса излучения сводится к системе двух нелинейных дифференциальных уравнений для плоского слоя полупрозрачной поглощающей и рассеивающей среды. Дифференциальный аналог уравнения переноса для полусферических потоков E_j^\pm с учетом анизотропного рассеяния излучения представляется в виде [9]

$$\begin{aligned} \frac{d}{d\tau_j} (E_j^+ - E_j^-) + (1 - \omega_j) (m_j^+ E_j^+ - m_j^- E_j^-) &= (1 - \omega_j) n^2 B_j, \\ \frac{d}{d\tau_j} (m_j^+ l_j^+ E_j^+ - m_j^- l_j^- E_j^-) + (1 - \bar{\zeta} \omega_j) (E_j^+ - E_j^-) &= 0. \end{aligned} \quad (5)$$

Граничные условия для системы уравнений (5) в безразмерных переменных записываются следующим образом [2]:

$$\begin{aligned} E_j^- &= \varepsilon_1 \frac{B_j}{4} + R_1 E_j^+, \quad \tau = 0, \\ E_j^+ &= (1 - R_2) E_j^* + \left(1 - \frac{n^{*2}}{n^2} (1 - R_2) \right) E_j^-, \quad \tau = \tau_j, \end{aligned} \quad (6)$$

здесь $\tau_j = \alpha_j L(t) / (1 - \omega_j)$ — спектральная оптическая толщина слоя, ω_j — спектральное альbedo однократного рассеяния, B_j — функция Планка, n — показатель преломления льда, n^* — показатель преломления внешней среды, $\bar{\zeta}$ — средний косинус угла рассеяния. Значения коэффициентов m^\pm , l^\pm определяются из рекуррентного соотношения, полученного с помощью формального решения уравнения переноса излучения,

j — номер спектральной полосы. Средний косинус угла рассеяния $\bar{\zeta}$, входящий в уравнение (5), рассчитывается по формуле [9]:

$$\bar{\zeta} = 1/2 \int_{-1}^1 p_\nu(\mu, \mu') \mu d\mu, \quad (7)$$

где $p_\nu(\mu, \mu') = \sum_{l=0}^N a_l P_l(\mu_0)$ — спектральная индикатриса рассеяния, $a_0 = 1$, μ_0 — косинус угла между падающим и рассеянными лучами, P_l — полином Лежандра порядка l , a_l — коэффициенты разложения, где $l = 1, 2, \dots, N$, ν — индекс частоты излучения.

Уравнение (1) с граничными условиями (2) – (4) и уравнение (5) с граничными условиями (6) приводятся к безразмерному виду аналогично тому, как это было сделано в работах [5 – 7]. Решение задачи сводится к определению динамики таяния льда и роста температуры необлучаемой поверхности льда, представляющей собой плоский слой селективно поглощающей, излучающей и рассеивающей среды.

Результаты и анализ

Проанализируем результаты численного моделирования вертикально расположенного слоя рассеивающего излучение льда со следующими физическими параметрами: начальная толщина льда $L_0 = 0,045$ м, начальная температура льда $T_{\text{sub}} = 260$ К, постоянная температура атмосферы внутри камеры T_∞ составляет 273 К и равна температуре таяния льда T_f , температура пленки воды $T_{\text{fil}} = 277$ К, постоянная плотность падающего потока излучения $E_\nu^* = 4649$ Вт/м² [8]. Приняты следующие значения параметров теплофизических и оптических свойств льда: теплопроводность $\lambda = 1,87$ Вт/(м·К), температуропроводность $a = 1,31 \cdot 10^{-6}$ м²/с, скрытая теплота фазового перехода $\gamma = 335$ кДж/кг [1], показатель преломления льда $n = 1,31$ (для воздуха $n^* = 1$), коэффициенты отражения $R_1 = 0,95$ и $R_2 = 1 - \varepsilon_2$, степень черноты левой границы $\varepsilon_1 = 1 - R_1$. Спектральные характеристики льда и источника излучения представлены в таблице. Значения других параметров в расчетах варьировались. К ним относятся: коэффициент теплоотдачи h , степень черноты облучаемой поверхности ε_2 и коэффициенты разложения полинома Лежандра, которые принимают следующие значения: рассеяние вперед — $a_1 = 1,2$, $a_2 = 0,5$ и $a_1 = 2,00917$, $a_2 = 1,56339$; рассеяние назад — $a_1 = -1,2$, $a_2 = 0,5$ [9, 13]. На первом этапе $h = 9$ Вт/(м²·К) и $\varepsilon_2 = 0,18$. На втором этапе $h = 80$ Вт/(м²·К), что приблизительно соответствует условиям теплоотдачи в работе [8], а степень черноты $\varepsilon_2 = 0,99$. Значения параметров R_1 , ε_2 и h получены в ходе численных экспериментов. Авторами [8] характеристики рассеяния излучения в слое льда, при которых были получены экспериментальные данные, не проводились. В отсутствие этих данных коэффициенты разложения полинома Лежандра для индикатрисы рассеяния заимствованы из работы [13], где рассматривалась среда с подходящим показателем преломления.

На рис. 1 представлена динамика таяния льда при рассеянии вперед, назад и данные эксперимента [8]. Рассеяние назад (кривая 2) точно соответствует данным [8]. Максимальная разница расчета и эксперимента достигается при рассеянии вперед с коэффициентами разложения $a_1 = 2,00917$, $a_2 = 1,56339$ (кривая 4) и составляет 2 мин (не более 4 %). На росте температуры левой необлучаемой границы (рис. 2) направление

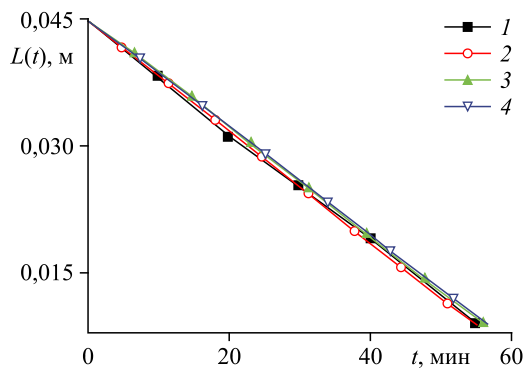


Рис. 1. Динамика таяния слоя льда в зависимости от направления рассеяния.
 1 — эксперимент [8], 2 — рассеяние назад ($a_1 = -1,2$, $a_2 = 0,5$), 3 — рассеяние вперед ($a_1 = 1,2$, $a_2 = 0,5$), 4 — рассеяния вперед ($a_1 = 2,00917$, $a_2 = 1,56339$).

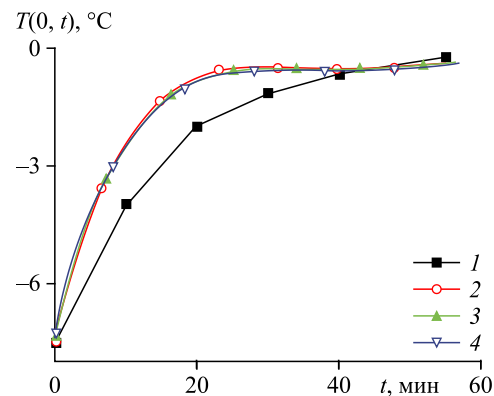


Рис. 2. Динамика роста температуры в зависимости от направления рассеяния. Обозначения см. на рис. 1.

рассеяния не сказывается. Это обстоятельство можно объяснить наличием на левой границе высоко отражающей поверхности, из-за которой температура оптически тонкого слоя льда выравнивается. Результаты расчетов показывают удовлетворительное согласование как с опытными данными [8], так и с результатами расчетов, проведенных транспортным методом [12].

Заключение

Поставлена и численно решена задача таяния плоского слоя льда при радиационном нагреве с учетом анизотропии рассеяния излучения. Для решения радиационной части использовался метод средних потоков, учет анизотропии рассеяния излучения в слое льда осуществлялся с помощью метода разложения индикатрисы рассеяния в ряд по полиномам Лежандра. Проанализированы динамика таяния льда, изменение температурного поля в слое льда и на непрозрачной подложке. Показано влияние направления рассеяния на скорость таяния льда. Сильное отражение излучения необлучаемой поверхностью приводит к тому, что рост температуры на этой границе не зависит от направления рассеяния излучения в слое льда. Получено удовлетворительное согласование как с опытными данными, так и с расчетами, проведенными транспортным методом.

Список литературы

1. Красс М.С., Мерзлякин В.Г. Радиационная теплофизика снега и льда. Л.: Гидрометеиздат, 1990. 262 с.
2. Тимофеев А.М. Моделирование радиационного нагрева снежно-ледяного покрова // Теплофизика и аэромеханика. 2018. Т. 25, № 5. С. 797–804.
3. Dombrovsky L.A., Kokhanovsky A.A., Randrianalisoa J.H. On snowpack heating by solar radiation: a computational model // J. Quant. Spectr. Radiat. Transfer. 2019. Vol. 227. P. 72–85.
4. Dombrovsky L.A., Kokhanovsky A.A. Solar heating of ice sheets containing gas bubbles // J. Quant. Spectr. Radiat. Transfer. 2020. Vol. 250. Ar. 106991.
5. Sleptsov S.D., Savvinova N.A., Rubtsov N.A. Ice melting with allowance for selective absorption in the medium // J. Engng Thermophys. 2019. Vol. 28, No. 1. P. 114–122.
6. Слепцов С.Д., Саввинова Н.А. Таяние льда при облучении селективным источником теплового излучения // Теплофизика и аэромеханика. 2019. Т. 26, № 5. С. 813–820.
7. Слепцов С.Д., Саввинова Н.А. Расчетное исследование нестационарного теплового состояния льда с учетом рассеяния излучения // Теплофизика и аэромеханика. 2020. Т. 27, № 4. С. 647–654.
8. Seki N., Sugawara M., Fukusaki S. Radiative melting of ice layer adhering to a vertical surface // Wärme- und Stoffübertragung. 1979. Vol. 12, Iss. 2. P. 137–144.

9. Рубцов Н.А., Тимофеев А.М., Саввинова Н.А. Комбинированный теплообмен в полупрозрачных средах. Новосибирск: Изд-во СО РАН, 2003. 197 с.
10. Dombrovsky L.A., Baillis D. Thermal radiation in disperse systems: an engineering approach. N.Y.: Begell House, 2010. 689 p.
11. Dombrovsky L.A. The use of transport approximation and diffusion-based models in radiative transfer calculations // Comput. Thermal Sci. 2012. Vol. 4, No. 4. P. 297–315.
12. Слепцов С.Д., Саввинова Н.А., Гришин М.А. Численное исследование теплового состояния льда содержащего пузырьки воздуха // Прикл. механика и технич. физика. 2021. Т. 62, № 3. С. 118–125.
13. Lui C.C., Dougherty R.L. Anisotropically scattering media having a reflective upper boundary // J. Thermophysics and Heat Transfer. 1999. Vol. 13, No. 2. P. 177–184.

*Статья поступила в редакцию 15 июня 2021 г.,
после переработки — 5 октября 2021 г.,
принята к публикации 20 октября 2021 г.*